



基于 LabVIEW 的推流式活性污泥法动态仿真研究

方 芳 郭劲松 朱建军

(重庆大学城市建设与环境工程学院, 重庆 400045)

摘要 介绍了利用 LabVIEW6.1 及其数学子模板中一阶微分方程组的龙格库塔算法函数, 根据活性污泥法 1 号数学模型一阶微分方程组的特征, 开发出适用于推流式活性污泥法仿真系统的方法。应用该仿真系统模拟了重庆某污水处理厂的实际运行记录, 结果表明仿真效果良好。该方法降低了软件的编程难度。

关键词 LabVIEW 龙格库塔算法 活性污泥法 1 号模型 仿真系统

活性污泥法是目前污水生物处理最主要的方法之一, 长期以来对活性污泥工艺的研究、设计和运行控制主要依靠试验和经验数据。自国际水污染控制协会(IAWPRC, 现改名为国际水协 IWA)先后推出活性污泥数学模型(ASM1~ASM3)以来, 以数学模型为基础的污水生物处理仿真模拟研究在国外发展很快^[1~5], 同时也为活性污泥工艺的研究和应用提供了一个重要的手段。国内在这个领域的发展虽然起步较晚, 但近些年来也逐步重视起来, 例如黄勇、杨铨大、顾国维等对模型参数的测定进行了研究^[6,7], 而在进水组分测定的研究^[8,9]方面主要有施国家“十五”科技攻关资助项目(2003BA808A17-02), 国家自然科学基金项目(50178069)。

汉昌、顾国维、陈莉荣、彭党聪等。其中施汉昌、季民、杨青、卢培利等人还结合实际工艺, 开发了一些仿真模拟软件^[10~13], 并取得了较好的仿真效果, 对运行管理有一定的指导作用。这些仿真软件大多使用 MATLAB 为开发工具, MATLAB 的优点是具有强大的数学开发工具, 但这些数学工具在水处理仿真中很少用到。而它的编写对于从事水处理的工作者, 却显得较为复杂, 开发成本较大。并且软件的可界面化较差, 导致软件整体的可视性和易用性差, 不利于今后的推广、使用和再开发。

在计算机技术飞速发展的今天, 面向用户的图形开发软件日新月异, 如 LabVIEW, VB, VC 等。其中, 由美国 National Instruments 公司开发的



LabVIEW 正是其中的典型代表,它可以应用于仿真、在线监测和控制等领域,并已在机械、汽车、石油化工等行业得到了广泛的使用,但目前其应用于水处理方面的例子还很少。它的数学工具能满足水处理仿真要求,且编写简单,可视性好。本文结合推流式活性污泥的具体工艺,利用 LabVIEW 和其自带的基本函数库,开发出推流式活性污泥法仿真系统,探讨了其在水处理仿真中的实际应用。

1 LabVIEW 简介

LabVIEW 是一种用图标代码来代替编程语言而创建应用程序的开发工具。在基于文本的编程语言中,程序的执行依赖于文本所描述的指令,而 LabVIEW 使用数据流编程方法来描述程序的执行^[14]。LabVIEW 用图形语言——G 语言,把复杂、繁琐、费时的语言编程简化成用菜单或图标提示的方法选择功能(图形),并用线条把各种功能(图形)连接起来的简单图形编程方式。采用 LabVIEW 图形编程方式比传统的编程语言,程序开发时间可以节省 80% 左右,而且运行速度却几乎不受影响。LabVIEW 中编写的源程序,很接近程序流程图。所以,只要把程序流程框图画好了,程序也就差不多编好了。因此也被誉为工程师和科学家的语言。

LabVIEW 程序也被称为虚拟仪器(VIs),一个 LabVIEW 程序有三个部分组成:前面板、程序框图、图标和连接框。前面板即为用户界面。程序框图为包含定义该 VI 功能的图形化源代码。图标和连接框用来定义一个 VI,它既可作为主程序,也可作为子程序(subvi)被其他程序调用。LabVIEW 自 1986 年正式推出,现最新版本已发展到 LabVIEW 7 Express,本文采用 LabVIEW 6.1 版本开发推流式活性污泥法的仿真系统。

2 数学模型的建立

在编写仿真软件之前,首先要确定被仿真的对象。被仿真对象的系统特征通常需要一系列的数学描述,这一系列的数学描述即是系统的数学模型。本论文选择传统推流式(PF)活性污泥法进行仿真模拟,工艺流程见图 1。以活性污泥法 1 号模型(ASM1)为基础,构造系统的数学模型。本文介绍考虑异养菌在好氧条件下 COD 的去除,简称 PF-COD 仿真系统。

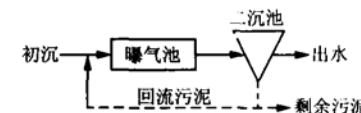


图 1 工艺流程示意

2.1 模型假设条件

在建立数学模型时,需要引入一些基本假定,具体内容如下:

- (1) 系统运行温度恒定。
- (2) pH 恒定且接近中性。
- (3) 不存在 N, P 及其他无机营养物对有机物质的去除及微生物增长的限制。
- (4) 进水中有关组分的质量浓度可变,但性质不变。
- (5) 二沉池中微生物不进行生化反应,且没有污泥累积。
- (6) 曝气池假定为理想推流式反应器。

2.2 建立仿真系统模型

由于理想推流反应器在液流方向的任一垂直截面上,液流中所有组分流动速度和混合液性质都是相同的,则反应组分的物料平衡方程为:

$$\frac{dC_i}{dt} = r_i \quad (1)$$

式中 C_i —— 单位微元中 i 组分的浓度;

i —— 单位微元中各组分;

r_i —— 单位微元中 i 组分的反应速率。

根据 ASM1 可写出 PF-COD 仿真系统的数学模型:

$$f_1 = \frac{dS_s}{dt} = \left(-\frac{1}{Y_H} \right) B_1 + B_3 \quad (2)$$

$$f_2 = \frac{dX_s}{dt} = (1 - f_p) B_2 - B_3 \quad (3)$$

$$f_3 = \frac{dX_{BH}}{dt} = B_1 - B_2 \quad (4)$$

$$f_4 = \frac{dX_p}{dt} = f_p B_2 \quad (5)$$

$$\text{其中: } B_1 = \hat{\mu}_H \left(\frac{S_s}{K_s + S_s} \right) \left(\frac{S_O}{K_{O,H} + S_O} \right) X_{BH}$$

$$B_2 = b_H X_{BH}$$

$$B_3 = k_h \frac{X_S / X_{BH}}{K_X + (X_S / X_{BH})} \left(\frac{S_O}{K_{O,H} + S_O} \right) X_{BH}$$

式中各组分符号,及化学计量学和动力学参数符号的意义见表 1。

3 应用 LabVIEW 实现污水处理厂动态仿真系统

表 1 PF - COD 模型中组分符号
及化学计量学和动力学参数符号定义

符号	定 义
S_S	易生物降解基质, gCOD/m ³
X_S	慢速可生物降解基质, gCOD/m ³
X_{BH}	异养性活性生物量, gCOD/m ³
X_p	由生物量衰减而产生的颗粒性产物, gCOD/m ³
S_O	溶解氧, gCOD/m ³
Y_H	异养菌产率系数, g 细胞 COD/g 氧化 COD
f_p	生物体中惰性组分的比值, 量纲为 1
μ_H	异养菌最大比增长速率, d ⁻¹
K_S	异养菌半饱和系数, gCOD/m ³
$K_{O,H}$	异养菌的氧半饱和系数, gO ₂ /m ³
b_H	异养菌衰减系数, d ⁻¹
k_h	最大比水解速率, g(慢速可生物降解 COD)/(g 细胞 COD·d)
K_x	慢速可生物降解底物水解的半饱和系数, g(慢速可生物降解 COD)/g 细胞 COD

根据系统的数学模型, 进水组分转换公式, 出水组分转换公式^[15], 构建 PF - COD 仿真系统。其中系统的数学模型是一阶微分方程组, 用四阶龙格库塔(R - K)算法来解。

3.1 LabVIEW 中的四阶 R - K 算法函数

在 LabVIEW 的数学子模板中有解一阶微分方程组 $X = f(X, t)$ 的四阶 R - K 算法函数, 它包括 7 个输入信号和 4 个输出信号, 具体见图 2^[16]。

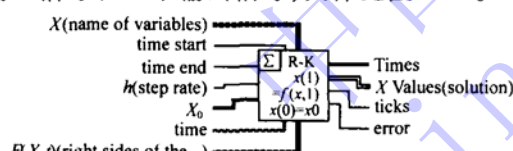


图 2 四阶 R - K 算法子模板

图 2 中输入信号包括: time start 为起始时间; time end 为结束时间; h 为固定步长; X 为由变量符号组成的一维字符串数组; X_0 为 X 的初始值数组; time 为时间变量符号; $F(X, t)$ 为由微分方程组右边多项式组成的一维字符串数组。

输出信号包括: Times 为时间点数组, 即 R - K 算法按 h 在 time start 和 time end 之间生成的等间隔时间点; X Values 为解的二维数组, 每行对应不同的时间点, 每列对应不同的变量; ticks 为程序运算时间(ms); error 为错误信息。

对于 PF - COD 系统, 输入信号相应为:

$$\text{time start} = 0.00$$

$$\text{time end} = V/[Q(1 + R)]$$

$$X = [S_S \ X_S \ X_{BH} \ X_P]^T$$

$$X_0 = [S_S(0) \ X_S(0) \ X_{BH}(0) \ X_P(0)]^T$$

$$F(X, t) = [f_1 \ f_2 \ f_3 \ f_4]^T$$

经过计算后各组分的值为:

$$X \text{ Values} = [S_S(n) \ X_S(n) \ X_{BH}(n) \ X_P(n)]^T$$

3.2 PF - COD 仿真系统流程(见图 3)

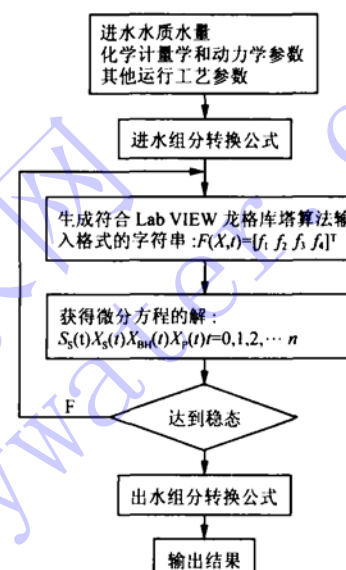


图 3 PF - COD 仿真系统流程

3.3 PF - COD 仿真系统前面板

根据 PF - COD 仿真系统, 在前面板创建相应的输入、输出数据显示方式和控件, 如图 4 所示。其中输入项包括: 进水流量 Q , 进水 COD, 曝气池容积 V , 回流比 R , 曝气池混合液 MLVSS, 曝气池溶解氧浓度 DO; 化学计量学和动力学参数; 假定初始回流污泥中各组分值。输出项包括: 出水 COD, S_s , X_s 浓度, 曝气池水力停留时间, 曝气池中 COD 随时间的变化曲线, 曝气池中 S_s , X_s 随时间的变化曲线。

3.4 PF - COD 仿真系统框图程序

在 LabVIEW 框图程序中, 按照流程图, 在对应的变量之间通过相应的功能图标用线连接起来, 这样就构建完成了 PF - COD 仿真系统。

4 污水处理厂的动态仿真

采用重庆某污水处理厂 2002 年 5 月 10 日到 6 月 13 日的运行数据。实际水温在 20 ℃附近, 仿真的化学计量学和动力学参数取 ASM1 中 20 时的推荐值^[17]。模拟结果, 实测出水 COD 与模拟出水 COD 吻合很好, 见图 5。

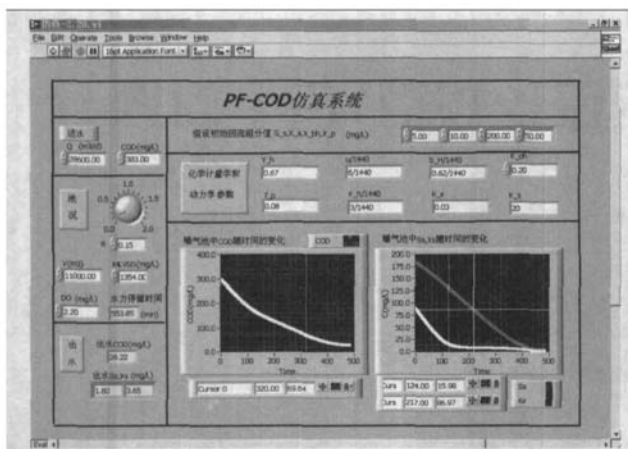


图 4 PF - COD 仿真系统前面板

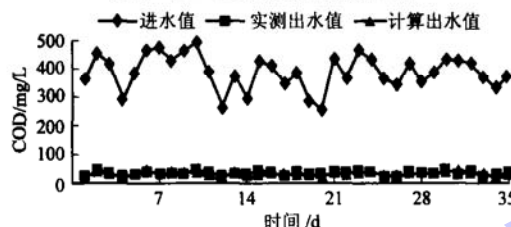


图 5 出水 COD 模拟对比

5 结语

目前大多数污水处理仿真模型是在 ASM1, ASM2, ASM3 基础之上建立的, 它们的数学模型, 也都是一阶微分方程组, 其方程组的解需要利用龙格库塔(R-K)算法。由于 LabVIEW 流程图式的程序设计与科技工程人员较为熟悉的数据流和方块图一致, 以及其函数模板中带有的 R-K 算法子模板。在利用其编写仿真软件时, 可以极大地降低编程难度, 缩短编程时间, 适合不熟悉编程的广大水处理工程师和科研人员。如果将仿真系统作为模块与 LabVIEW 数据采集系统结合起来, 就可以方便地构建污水处理厂动态实时监测、预测系统, 方便污水处理厂的日常运行管理。

参考文献

- Willi Gujer, Tove A Lrsen. The implementation of biokinetics and conservation principles in ASIM. *Wat Sci Tech*, 1995, 31(2): 257 ~ 266
- Van Veldhuizen H M, Van loosdrecht M CM, Heijnen J, et al. Modeling biological phosphorus and nitrogen removal in a full-scale activated sludge process. *Wat Res*, 1999, 33(16):3459 ~ 3468
- Daigger G T, Nolasco D. Evaluation and design of full-scale wastewater treatment plants using biological process models. *Wat Sci Tech*, 1995, 31(2):245 ~ 255
- Koch G. Calibration Validation of activated sludge model NO.3 for swiss municipal wastewater. *Wat Res*, 2000, 34(14):3580 ~ 3590
- Lesouef A, Payraudeau M, Ropgalla F, et al. Optimizing nitrogen removal reactor configurations by on-site calibration of the IAWPRC activated sludge model. *Wat Sci Tech*, 1992, 25(6):105 ~ 123
- 黄勇, 杨铨大, 王宝贞, 等. 活性污泥生物反应动力学模型研究. *环境科学研究*, 1995, 8(4):23 ~ 27
- 甘立军, 刘建勇, 顾国维, 等. ASM1 中化学计量系数的测定与计算. *中国给水排水*, 2003, 19(1):79 ~ 81
- 陈莉荣, 彭党聰. 活性污泥数学模型入流组分测定及应用. *冶金能源*, 2003, 22(4):50 ~ 53
- 周雪飞, 顾国维. ASMs 易生物降解有机物(Ss)的物化测定方法. *给水排水*, 2003, 29(11):23 ~ 26
- 施汉昌, 刁惠芳, 刘恒, 等. 污水处理厂运行模拟、预测软件的应用. *中国给水排水*, 2001, 17(10):61 ~ 63
- 张代钩, 卢培利, 陈丹琴, 等. 传统活性污泥法 COD 去除及脱氮改造的模拟. *环境科学学报*, 2002, 22(4):448 ~ 453
- 季民, 霍金胜, 胡振苓, 等. 活性污泥法数学模型的研究与应用. *中国给水排水*, 2001, 17(8):18 ~ 22
- 杨青, 刘遂庆, 甘树应. ASM3 在城市污水处理厂改造中的应用. *中国给水排水*, 2002, 18(12):68 ~ 70
- 石博强, 赵德永, 李畅, 等. LabVIEW6.1 编程技术实用教程. 北京: 中国铁道出版社, 2002
- 卢培利. 传统活性污泥过程及其生物脱氮除磷改造的动力学模拟研究:[学位论文]. 重庆: 重庆大学, 2002
- LabVIEW User Manual. USA: National Instrument Corporation, 1998
- Henze M. A General Model for Single-Sludge Wastewater Treatment Systems. *Wat Res*, 1987, 21(5):505 ~ 515

◎电话:(023)65120768

E-mail: xiduo@163.net

收稿日期:2004 - 04 - 06

济南加速污水处理工程建设

小清河是济南北部污水排放的唯一受纳水体, 河水污染极为严重, 生物净化功能已完全丧失。建立污水处理厂是治理小清河水污染的一种快速有效的手段。今后五年, 济南市将投资 6.3 亿元在小清河济南段新建 5 座污水处理厂, 应对东、西部城区发展对小清河的影响。首批已投资 3.3 亿元新建东部董家、孙村和章丘 3 个污水处理厂, 增加 20 万 m^3/d 污水处理能力。2010 年前, 将投资 3 亿元新建处理能力 25 万 m^3/d 的济南水质净化三厂和处理能力 2 万 m^3/d 的大金庄污水处理厂。届时, 济南西部城区生活污水将全部得到处理; 东部城区沿河直排口不能稳定达标污水将进入水质净化三厂。

(泓胡)